

## مساهمة في دراسة واقم المركبات الهيدروكربونية متعددة النوى العطرية في رسوبيات شاطئ مدينة اللاذقية

\* الدكتور عصام محمد  
\*\* الدكتور عماد حويجة  
\*\*\* أحمد أمير أغورلي

(قبل للنشر في 2004/8/10)

### □ الملخص □

تناولت هذه الدراسة توزع الفحوم الهيدروجينية متعددة النوى العطرية (PAHs) في الرسوبيات الشاطئية لمدينة اللاذقية حيث تم تحديد تراكيزها في 110 عينة من العينات الرسوبية الشاطئية السطحية، تم اعيانها من سبعة مواقع منتشرة على طول شاطئ مدينة اللاذقية وذلك خلال الفترة الممتدة ما بين 7 / 5 / 2000 و 21 / 6 / 2001، مستخدمين تقانة الكروماتوغرافيا الغازية (GC) المجهزة بنظام حقن بالتجزئة ودون التجزئة (Split/splitless)، وعمود شعري، وكاشف تشرد اللهب FID ومعتمدين في ذلك على محاليل عيارية خارجية وداخلية.

تراوحت تراكيز الفحوم الهيدروجينية متعددة النوى العطرية في العينات الرسوبية ما بين (dry wt.)  $11.6-562.67$  ng/g، وُسجلت أعلى قيمة في الموقع St(d) نتيجة للنشاط البشري الكبير في يمين المدخل الشمالي للمرفأ التجاري، وأخفض قيمة في الموقع St(g) في منتجع الشاطئ الأزرق، لعدم وجود مصادر تلوث قريبة من تلك المنطقة.

تشير هذه الدراسة إلى أن تراكيز المركبات متعددة النوى العطرية هي ضمن حدود التأثيرات المنخفضة Effect Range Low ERL ( $>4$ ppm).

\* أستاذ في قسم الكيمياء - كلية العلوم - جامعة تشرين - اللاذقية - سوريا

\*\* أستاذ مساعد في قسم الكيمياء - كلية العلوم - جامعة تشرين - اللاذقية - سوريا

\*\*\* مرشح لنيل درجة الماجستير - قسم الكيمياء - المعهد العالي للبحوث البحرية - جامعة تشرين - اللاذقية - سوريا

## Contribution to Study the State of Polycyclic Aromatic Hydrocarbons (Pahs) in Tidal Sediments of Lattakia Coast

Dr. Issam Mohamad\*  
Dr. Imad Hwejih\*\*  
Ahmed Amir Aghiourli\*\*\*

(Accepted 10/8/2004)

### □ ABSTRACT □

This study deals with the distribution of Polycyclic Aromatic Hydrocarbons (PAHs) in tidal sediments of Lattakia coast. The concentrations of polycyclic Aromatic Hydrocarbons were determined in (110) surface samples of sediments taken from seven tidal sites along Lattakia coast, during the period 7 / 5 / 2000 – 21 / 6 / 2001, using the technique of Gas Chromatography (GC) was equipped with a Split/Splitless injection system, Capillary column, Flame Ionization Detector (FID) and depending on External & Internal Standard solutions.

The concentration of total polycyclic Aromatic Hydrocarbons ( $\Sigma$ PAHs) in sediment samples ranged between (562.67-11.6) ng/g dry wt, The highest concentration was reported in St(d); resulting of the existing human activities to the right of northern entrance gate of commercial port, and the lowest value was reported in St(g) (i.e the blue Coast resort), due to lack of pollution sources near this region.

This study indicates that the concentrations of Polycyclic Aromatic Hydrocarbons is fall within the Effect Range Low (ERL) (4ppm).

---

\*Prof., Department Of Chemistry-Tishreen University-Lattakia-Syria.

\*\*Associated Prof., Department Of Chemistry-Tishreen University-Lattakia-Syria.

\*\*\*Msc. Student, Department Of Chemistry-High Institute Of Marine Research-Tishreen University-Lattakia-Syria.

## مقدمة:

تتوزع المركبات الهيدروكربونية متعددة النوى العطرية Polycyclic Aromatic Hydrocabons (PAHs) بشكل واسع في البيئة البحرية، وتحدث بعض هذه المركبات بعض الطفرات الوراثية المسببة لظهور بعض أنواع السرطان عند الكائنات الحية، لذلك حظيت باهتمام علمي على المستوى العالمي خلال القرن الماضي وبداية القرن الحالي [1].

يعتقد بأن المصدر الأساسي لمركبات الـPAHs في البيئة البحرية يعود إلى النشاط البشري، وذلك عبر تراكم نواتج احتراق الوقود التي تصل إلى البيئة البحرية عن طريق الجو أو عن طريق المسطحات المائية [2،3]، فضلا عن النفط والمنتجات النفطية الناتجة عن تفرغ سفن النقل (ناقلات النفط، ناقلات البضائع) وكذلك المخلفات الصناعية ذات العلاقة بالنفط ومشتقاته [4].

من جهة أخرى، يمكن لمركبات الـPAHs أن تنتج في الطبيعة بشكل غير مباشر بوساطة بعض الكائنات الحية الدقيقة إلا أن تراكيزها تبقى صغيرة جداً إذا ما قورنت بتلك الناتجة عن النشاط البشري [5،6]. من المعروف أن انحلالية مركبات الـPAHs في المياه ضعيفة جداً وتتناقص هذه الانحلالية مع زيادة الوزن الجزيئي وبالاعتماد على ذلك فإن تراكيزها في مياه البحر تكون ضئيلة جداً [7،8] إلا أنه يمكن لهذه المركبات أن تدمص على الجسيمات المادية المعلقة في الماء لتتوضع عليها بعد ذلك وتحت تأثير ثقلها تصل إلى الرسوبيات البحرية [9].

يمكن لمركبات الـPAHs الموجودة في الرسوبيات أن تتراكم في أجسام الكائنات الحية لتنتقل بعد ذلك عبر السلسلة الغذائية إلى الإنسان المستهلك النهائي لها لذلك كان من الأهمية بمكان تقصي واقع هذه الملوثات في المياه والرسوبيات البحرية [10-13].

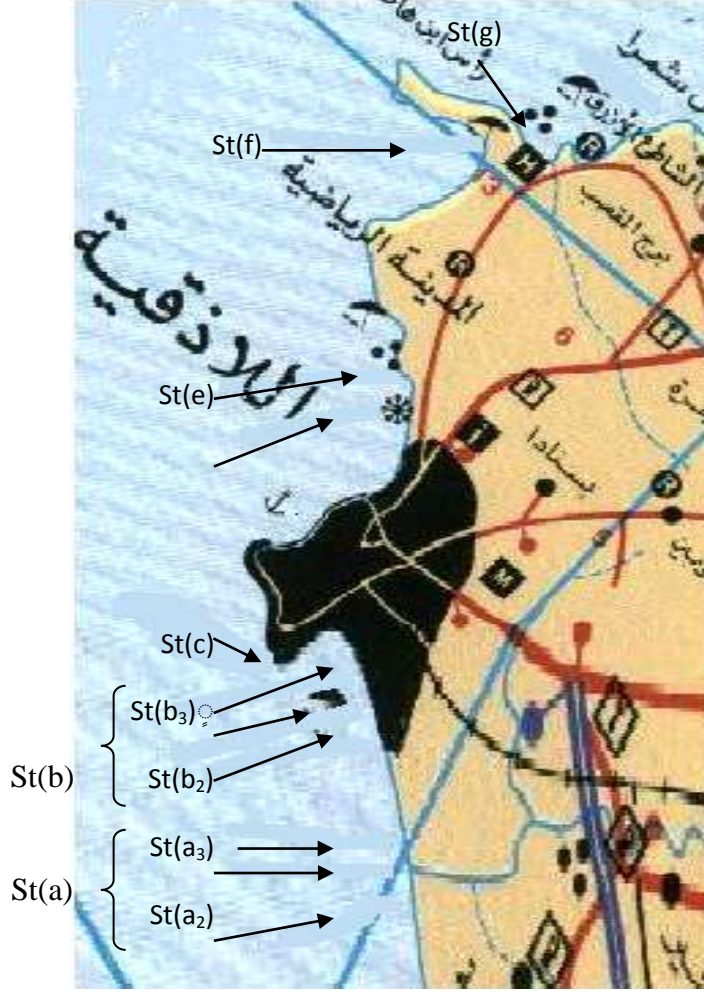
على الرغم من الدراسات السابقة، التي أجريت على المياه الشاطئية لمدينة اللاذقية [14،15] ، وعلى رسوبيات نهر الكبير الشمالي [16]، إلا أنه لا توجد حتى الآن دراسة تتناول الرسوبيات البحرية، وتعد دراستنا هذه أولى الدراسات على الرسوبيات البحرية ضمن إطار مراقبة ومتابعة تغيرات بعض الملوثات الكيمائية، التي تشكل خطراً على البيئة البحرية، وستساهم هذه الدراسة في إعطاء فكرة أولية عن المواقع المدروسة على شاطئ مدينة اللاذقية.

نستعرض في بحثنا هذا واقع الفحوم الهيدروجينية العطرية في الرسوبيات البحرية لمدينة اللاذقية، التي تعد إحدى النقاط الساخنة على الشاطئ الشرقي للبحر المتوسط، وذلك استناداً إلى القائمة الصادرة عن برنامج الأمم المتحدة للبيئة الـ (United National Environment Program) UNEP عام 1997 [16]، والتي يتعرض شاطئها لمصادر تلوث مختلفة.

## مواقع الاعتيان:

تم جمع عينات من الرسوبيات الشاطئية لمدينة اللاذقية، وفق توزيع جغرافي شمل سبع مواقع منتشرة على امتداد الشاطئ، بدءاً من مصب نهر الكبير الشمالي جنوباً وحتى منطقة منتجع الشاطئ الأزرق شمالاً، وتم الأخذ بالحسبان مواقع مصبات الصرف الصحي للتجمعات السكنية والصناعية والمياه السطحية دائمة الجريان، التي ترفد مياه البحر، ويبين الشكل (1) مواقع الاعتيان الموزعة على النحو التالي:

- a. الموقع A St(a): مصب نهر الكبير الشمالي تمّ اختياره نظراً لتلاقي مياه نهر الحفة مع المجرى الرئيسي له ولوجود بعض المنشآت الصناعية، التي تطرح مخلفاتها في مياهه، لتصب آخر المطاف في البحر، وتم الاعتيان من ثلاث نقاط، تقع إحداها أمام المصب، والنقطتان الباقيتان على يمينه ويساره بمسافة تصل إلى حوالي 200م تقريباً.
- b. الموقع B St(b): مسبح الشعب ويشمل ثلاثة نقاط، تقع جميعها على يمين مصب مجرور الصرف الصحي لمسبح الشعب بمسافة تتراوح بين 100-300م.



الشكل (1) مخطط مواقع الاعتيان

- c. الموقع C St(c): منتزه السوار ويشمل نقطة واحدة فقط. تقع على يمين النقطة St(b<sub>3</sub>) لمسبح الشعب بمسافة 200م.
- d. الموقع D St(d): يشمل نقطة واحدة، تقع يمين المدخل الشمالي للمرفأ التجاري، تم اختيار هذه النقطة نظراً لوجود قناتي صرف صحي، فضلا عن وجود بعض خزانات النفط في هذا الموقع.
- e. الموقع E St(e): موقع سفينة نوح، يشمل نقطة واحدة، تم اختيارها بسبب

وجود مصب سابق للصرف الصحي.

f. الموقع St(f) F: موقع فندق المريديان، ويشمل نقطة واحدة، تم اختيارها لأنها منطقة

اصطياف.

g. الموقع St(g) G: موقع منتجع الشاطئ الأزرق، ويشمل نقطة واحدة، تم

اختيارها لأنها منطقة اصطياف.

وقد امتدت دراستنا من شهر أيار 2000 وحتى شهر حزيران 2001 وبمعدل جولة واحدة كل ستة أسابيع.

## طرائق العمل:

تمّ جمع العينات (باستخدام أنبوب مصنع من مادة P.V.C، أخذت عينة من الطبقة السطحية للرسوبيات بسماكة لا تتجاوز 5/ سنتمتر)، وجرى استخلاصها وتحضيرها للتليل طبقاً للإجراءات المرجعية المعتمدة من قبل الـ UNEP [4]، ومن قبل الوكالة الدولية للطاقة الذرية International Atomic Energy Agency IAEA [17] 1995، تؤخذ العينة، ثمّ تستخلص، وتركز الخلاصة إلى حجم قدره 15 ml باستخدام المبخر الدورار. يقاس المحتوى العضوي بغية تقدير كمية المركبات الهيدروكربونية التي يتم فصلها بالعمود الكروماتوغرافي ومقارنتها مع حملته (سيليكاجل-ألومينا)، فإذا كان أكبر من 100 mg/g، نعالج حينها المزيج بماءات البوتاسيوم ويسخن لمدة ساعتين، ويتم التخلص من الكبريت بواسطة الزئبق الحر عالي النقاوة، ثمّ تركز الخلاصة مرة ثانية حتى 1-2 ml بواسطة تيار لطيف من غاز الآزوت النقي. تفصل بعدها العينة على عمود كروماتوغرافي باستخدام السيليكاجل والألومينا المتعادلة، لفصل المركبات الأليفاتية عن المركبات العطرية، ثمّ نمرر العينات على جهاز الكروماتوغرافيا الغازية (GC) من نوع Varian موديل 3800 مزود بكاشف FID يدعى بكاشف تشرد اللهب، الذي يتمتع بحساسية عالية للمركبات الهيدروكربونية ويعمل بنظام درجة حرارة ثابتة وبنظام البرمجة الحرارية.

تم استخدام عمود شعري للفصل مواصفاته (CP-sil 5 CB) DB5 طوله 30m وقطره الداخلي

0.32mm وتم استخدام البرنامج الحراري التالي:

60 ° C (0 min) program 280 ° C isothermal 42.67 min  
6 ° C/min 6 min

## النتائج والمناقشة:

توضح الأشكال (2-5) تغيرات العوامل الهيدرولوجية (الحرارة، الملوحة، الناقلية والأوكسجين المنحل)

التي تم تحديدها في المياه الشاطئية لمدينة اللاذقية أثناء أخذ العينات الرسوبية.

تراوحت درجة الحرارة خلال فترة الدراسة ما بين 14.5-31.30 °C. نلاحظ من الشكل (2) تقارب في

درجة الحرارة ما بين جميع المواقع في الجولة الواحدة بشكل عام.

تراوحت درجتي الملوحة والناقلية ما بين 29.8-39.9 g/l و 45.93-59.1 ms/c على التوالي،

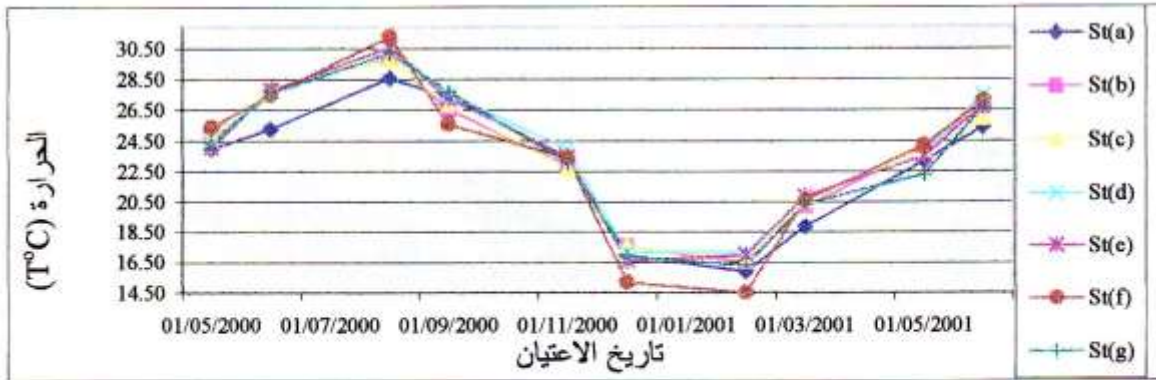
ويلاحظ من الشكلين (3،4) وجود تقارب كبير في القيم ما بين جميع المواقع وفي جميع الجولات باستثناء الموقع

St(a) في الجولات الأولى والثانية والثالثة، حيث يلاحظ انخفاضاً كبيراً في درجة الملوحة وذلك بسبب الغزارة

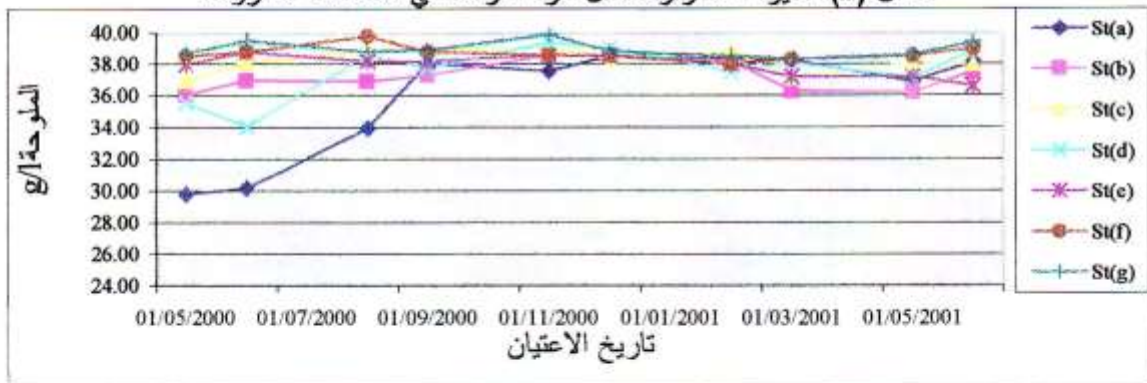
الكبيرة لمياه نهر الكبير الشمالي التي ترفد البيئة البحرية في تلك الفترة. أما كمية الأوكسجين المنحل فتراوحت قيمها

ما بين 3.4-7.75 mg/l ويلاحظ من الشكل (5)، تسجيل أعلى قيمة للأوكسجين المنحل في الجولة السابعة

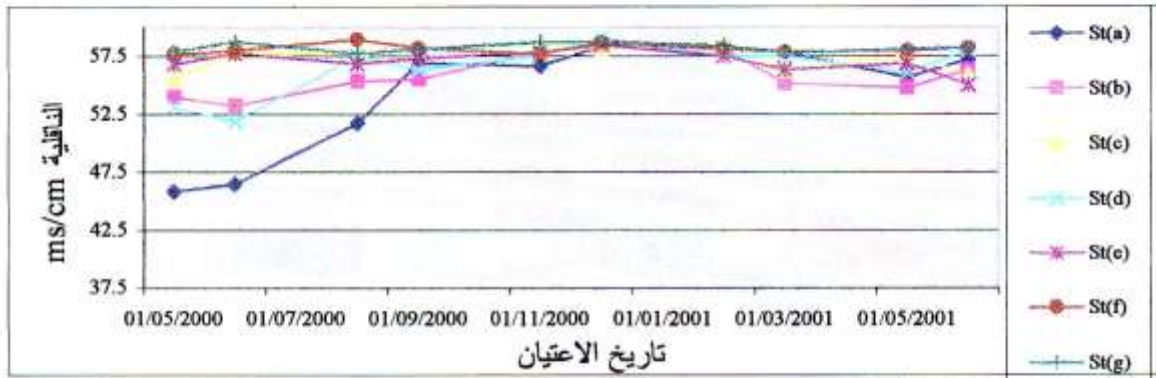
وأصغر قيمة في الجولة الخامسة.



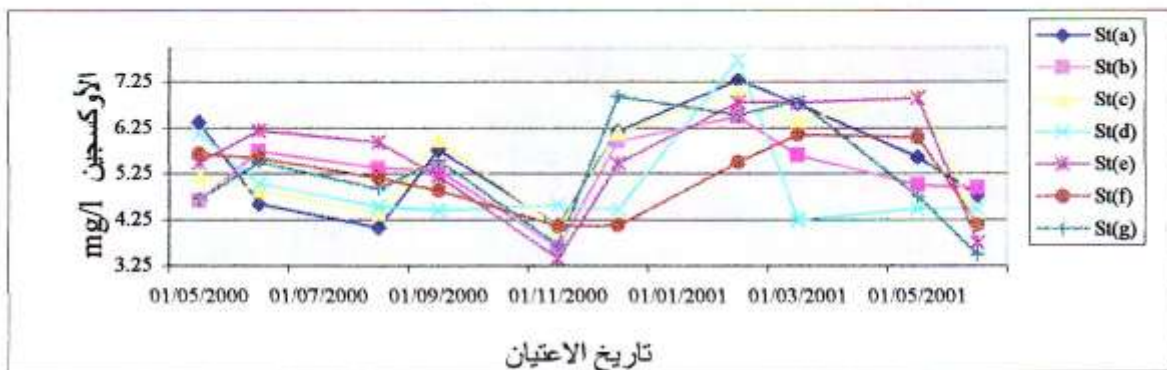
الشكل (2): تغيرات الحرارة خلال فترة الدراسة في المحطات المدروسة



الشكل (3): تغيرات نسبة الملوحة خلال فترة الدراسة في المحطات المدروسة



الشكل (4): تغيرات الناقلية خلال فترة الدراسة في المحطات المدروسة



الشكل (5): تغيرات نسبة الأوكسجين خلال فترة الدراسة في المحطات المدروسة

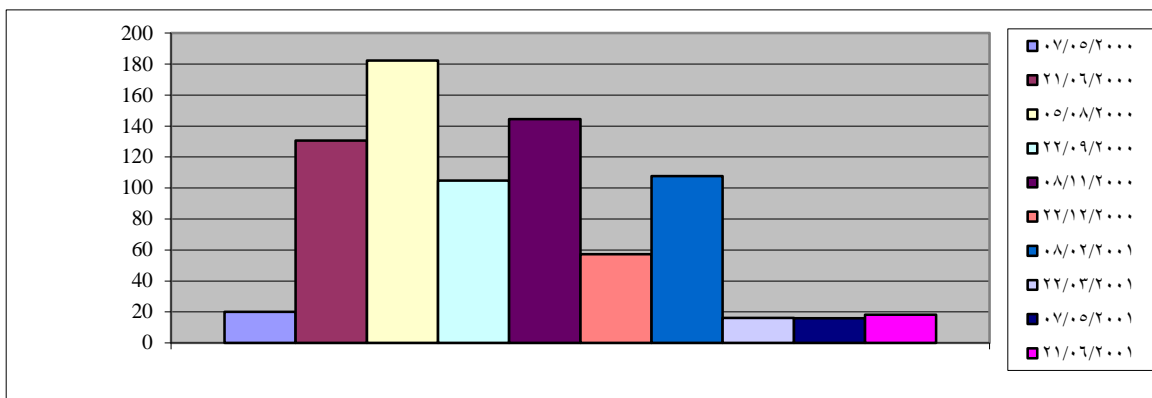
توضح الجداول (1-7) تراكيز الفحوم الهيدروجينية العطرية في العينات الرسوبية للمواقع المدروسة.

الموقع A:

يبين الجدول التالي تراكيز الفحوم الهيدروجينية العطرية في الموقع St(a):

جدول (1): متوسط تراكيز الفحوم الهيدروجينية العطرية في العينات الرسوبية لمصب النهر الكبير الشمالي St(a) (Dry wt) ng/g

اسم المركب	تاريخ الاعتيان	07/05/00	21/06/00	05/08/00	22/09/00	08/11/00	22/12/00	08/02/01	22/03/01	07/05/01	21/06/01	Max	min
Naphthalene		0.12	nd	3.13	0.15	0.28	0.44	0.18	0.05	0.06	0.27	3.13	nd
1,2,4-Triethyl benzen		0.24	0.22	5.14	0.60	0.30	0.41	0.54	0.16	0.90	0.12	5.14	0.12
1,3,5-Triethyl benzen		0.11	0.12	6.31	0.41	0.36	0.27	0.61	0.47	0.08	0.60	6.31	0.08
1-Methyl naphthalene		0.26	1.65	14.70	0.38	0.26	0.22	0.18	0.14	0.15	0.14	14.70	0.14
1-Ethyl naphthalene		0.11	5.96	24.74	0.53	0.52	1.32	1.21	0.18	0.24	0.23	24.74	0.11
Acenaphthylene		0.12	2.80	2.51	0.13	0.12	0.36	0.30	0.05	0.22	nd	2.80	nd
Acenaphthene		nd	1.32	0.83	0.30	0.17	0.50	0.10	0.14	0.06	0.31	1.32	nd
2,3,6-Trimethyl naphthalene		0.25	1.63	3.71	0.48	0.19	0.31	0.95	0.19	nd	0.19	3.71	nd
Flourene		nd	2.35	5.84	1.60	0.30	3.34	0.40	0.07	nd	0.06	5.84	nd
Phenanthrene		0.52	0.41	14.64	1.63	3.42	2.42	4.48	3.91	2.78	2.84	14.64	0.41
Anthracene		0.38	4.32	15.50	7.01	7.79	3.97	5.85	3.63	2.92	3.26	15.50	0.38
2-Methyl phenanthrene		2.85	2.92	5.76	4.93	1.98	0.52	1.34	0.32	0.60	0.27	5.76	0.27
1-Methyl phenanthrene		1.54	46.28	32.05	46.39	66.01	34.3	52.38	1.51	2.38	2.05	66.01	1.51
3,6-Dimethyl phenanthrene		0.47	2.78	2.56	1.32	4.05	0.60	2.27	0.16	0.58	0.32	4.05	0.16
Flouranthene		0.50	3.40	2.57	1.59	1.61	0.59	1.09	0.48	0.69	0.44	3.40	0.44
Pyrene		1.31	2.49	6.02	0.65	2.78	2.43	4.39	1.12	1.12	0.72	6.02	0.65
1-Methyl Pyrene		1.62	6.55	6.21	8.10	10.53	0.74	2.82	2.60	1.13	2.75	10.53	0.74
Chrysene		0.66	19.45	9.65	23.11	39.25	2.49	12.43	0.61	0.63	0.34	39.25	0.34
Perylene		9.05	25.94	20.51	5.60	4.62	2.02	16.09	0.43	1.45	3.28	25.94	0.43
ΣPAHs		20.1	130.5	182.3	104.9	144.5	57.2	107.6	16.2	15.9	18.1	182.3	15.9
Phen./Anth.		1.37	0.09	0.94	0.23	0.44	0.61	0.77	1.08	0.95	0.87	0.94	1.08
Flou/Pyr.		0.00	0.94	0.97	2.46	0.11	1.37	0.09	0.06	0.00	0.08	0.97	0.00



الشكل (6): متوسط التراكيز الكلية للفحوم الهيدروجينية العطرية في العينات الرسوبية لمصب نهر الكبير الشمالي St(a) الموقع B:

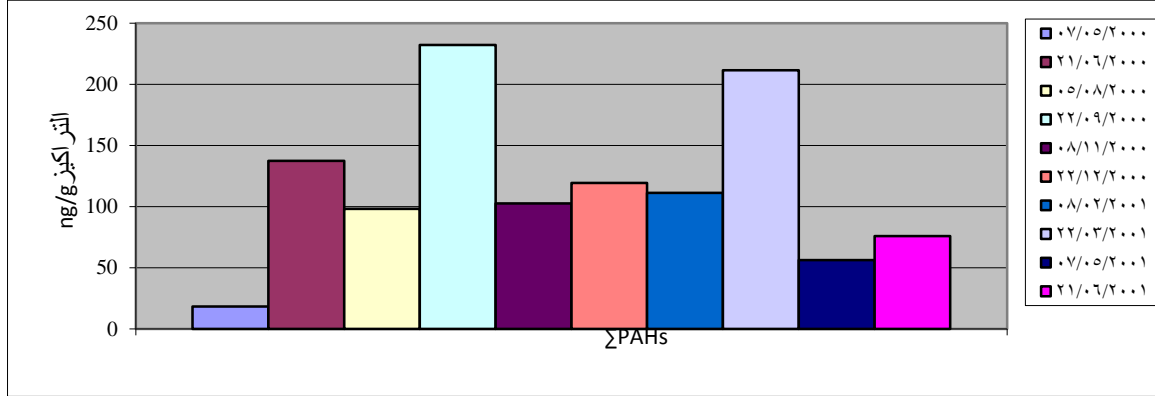
يبين الجدول التالي متوسط تراكيز الفحوم الهيدروجينية العطرية في الموقع St(b):

جدول (2): متوسط تراكيز الفحوم الهيدروجينية العطرية في العينات الرسوبية لموقع مسبح الشعب St(b) (Dry wt) ng/g

اسم المركب	تاريخ الاعتيان	07/05/00	21/06/00	05/08/00	22/09/00	08/11/00	22/12/00	08/02/01	22/03/01	07/05/01	21/06/01	Max	min	
Naphthalene		0.36	2.84	2.38	1.49	1.52	4.40	0.14	0.16	0.45	0.10	4.40	0.10	
1,2,4-Triethyl benzen		0.44	4.24	6.25	6.48	0.29	9.01	0.61	0.14	0.17	0.08	9.01	0.08	
1,3,5-Triethyl benzen		0.19	3.72	4.60	3.34	0.33	9.31	1.08	0.07	0.95	nd	9.31	nd	
1-Methyl Naphthalene		0.12	3.58	1.06	13.40	11.90	6.27	nd	0.16	0.23	3.01	13.40	nd	
1-Ethyl Naphthalene		0.50	15.12	26.2	8	25.61	4.67	3.02	0.98	0.15	0.77	5.54	26.28	0.15
Acenaphthylene		0.41	8.67	2.79	5.52	1.27	2.32	0.30	2.71	0.20	0.07	8.67	0.07	
Acenaphthene		0.24	1.03	1.34	1.66	0.35	1.32	0.44	0.17	0.24	0.29	1.66	0.17	
2,3,6-Trimethyl naphthalene		0.12	3.33	1.49	2.20	1.15	1.53	0.69	0.19	0.22	1.28	3.33	0.12	
Flourene		0.13	0.66	1.62	5.86	0.92	4.53	0.58	nd	0.15	nd	5.86	nd	
Phenanthrene		3.74	2.43	5.07	6.18	3.91	3.58	7.46	4.80	3.64	7.83	7.83	2.43	
Anthracene		0.99	3.89	11.1	4	10.22	9.23	11.44	7.16	3.33	2.32	4.12	11.44	0.99
2-Methyl phenanthrene		0.74	9.10	4.44	3.75	4.39	0.96	1.77	1.19	0.77	4.99	9.10	0.74	
1-Methyl phenanthrene		1.09	2.44	11.2	4	71.17	8.04	41.86	36.31	1.40	4.73	8.73	71.17	1.09
3,6-Dimethyl phenanthrene		0.58	8.04	2.71	5.66	0.64	2.30	4.06	0.84	1.77	1.00	8.04	0.58	
Flouranthene		0.38	9.56	1.96	9.54	1.66	0.80	0.52	19.31	0.31	3.87	19.31	0.31	
pyrene		3.78	1.98	3.34	6.39	16.97	3.02	2.14	26.88	19.9	9	8.73	26.88	1.98
1-Methyl pyrene		0.76	14.96	3.33	7.23	7.96	1.99	0.48	45.90	10.5	8	4.56	45.90	0.48
Chrysene		1.49	37.19	5.57	20.76	18.99	4.74	32.03	51.43	3.91	18.7	7	51.43	1.49
Perylene		2.18	4.64	1.31	25.86	8.34	7.27	14.47	52.69	4.79	3.00	52.69	1.31	
ΣPAHs		18.2	137.4	97.9	232.3	102.5	119.6	111.2	211.5	56.2	75.9	232.3	18.2	
Phen./Anth.		6	1	2	3	4	5	0	2	2	6	3	6	
Phen./Anth.		3.78	0.62	0.44	0.60	0.42	0.32	1.04	1.44	1.57	1.90	0.68	2.45	



Flou/Pyr.	0.03	0.33	0.49	0.92	0.05	1.50	0.27	0.00	0.01	0.00	0.22	0.00
-----------	------	------	------	------	------	------	------	------	------	------	------	------



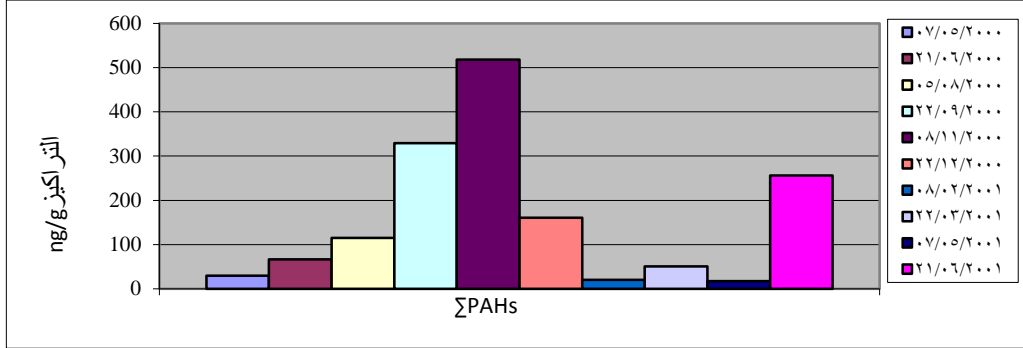
الشكل (7): متوسط التراكيز الكلية للفحوم الهيدروجينية العطرية في العينات الرسوبية لموقع مسبح الشعب St(b)

الموقع C:

يبين الجدول التالي تراكيز الفحوم الهيدروجينية العطرية في الموقع St(c):

جدول (3): تراكيز الفحوم الهيدروجينية العطرية في العينات الرسوبية لموقع منتزه السوار St(c) (Dry wt) ng/g

اسم المركب	تاريخ الاعتيان										Max	min
	07/05/00	21/06/00	05/08/00	22/09/00	08/11/00	22/12/00	08/02/01	22/03/01	07/05/01	21/06/01		
Naphthalene	0.64	nd	7.35	7.69	59.78	11.89	0.70	2.00	0.19	8.61	59.78	nd
1,2,4-Triethyl benzen	0.40	nd	11.68	30.60	40.67	21.05	nd	2.00	0.15	5.63	40.67	nd
1,3,5-Triethyl benzen	0.40	0.41	1.68	39.03	94.85	2.80	0.36	nd	nd	7.11	94.85	nd
1-Methyl naphthalene	nd	nd	4.89	34.56	44.12	56.37	0.48	nd	0.16	15.99	56.37	nd
1-Ethyl naphthalene	0.44	0.70	8.36	51.01	46.51	4.36	0.57	nd	0.16	41.13	51.01	nd
Acenaphthylene	0.37	1.84	2.83	11.18	21.72	1.34	0.36	1.78	0.15	4.81	21.72	0.15
Acenaphthene	0.46	0.98	8.88	5.85	7.90	1.34	0.46	2.21	nd	3.27	8.88	nd
2,3,6-Trimethyl naphthalene	0.53	2.31	13.42	5.83	7.02	11.04	0.46	2.14	0.16	2.99	13.42	0.16
Flourene	0.37	9.14	17.33	nd	8.66	18.11	0.83	nd	0.24	3.67	18.11	nd
Phenanthrene	12.15	8.69	0.83	nd	nd	nd	nd	1.85	0.22	75.06	75.06	nd
Anthracene	2.92	9.98	3.09	18.17	19.52	6.57	3.68	34.58	5.76	19.73	34.58	2.92
2-Methyl phenanthrene	0.77	2.65	0.88	12.95	18.23	7.30	1.20	1.93	0.51	7.92	18.23	0.51
1-Methyl phenanthrene	1.77	6.86	6.68	nd	nd	nd	0.47	nd	0.21	5.69	6.86	nd
3,6-Dimethyl phenanthrene	nd	1.98	nd	14.35	13.32	nd	nd	nd	1.09	4.04	14.35	nd
Flouranthene	nd	7.87	0.88	6.63	6.86	9.17	3.11	nd	0.68	5.06	9.17	nd
Pyrene	1.95	10.68	3.08	8.80	6.43	nd	1.04	1.85	0.22	5.48	10.68	nd
1-Methyl Pyrene	0.84	1.80	6.33	15.77	27.17	7.90	5.13	nd	0.97	5.21	27.17	nd
Chrysene	0.74	nd	8.85	59.87	89.35	0.67	0.41	nd	1.16	30.64	89.35	nd
Perylene	4.99	0.50	7.88	7.20	5.75	0.37	0.74	nd	4.91	4.20	7.88	nd
ΣPAHs	29.75	66.4	114.93	329.49	517.9	160.3	20.00	50.34	16.9	256.23	517.9	16.9
Phen./Anth.	4.16	0.87	0.27	0.00	0.00	0.00	0.00	0.05	0.04	3.80	2.17	0.00
Flou/Pyr.	0.19	0.86	5.63	0.00	1.35	-	0.80	0.00	1.09	0.67	1.70	-



الشكل (8): التراكيز الكلية للفحوم الهيدروجينية العطرية في العينات الرسوبية لموقع منتزه السوار St(c)

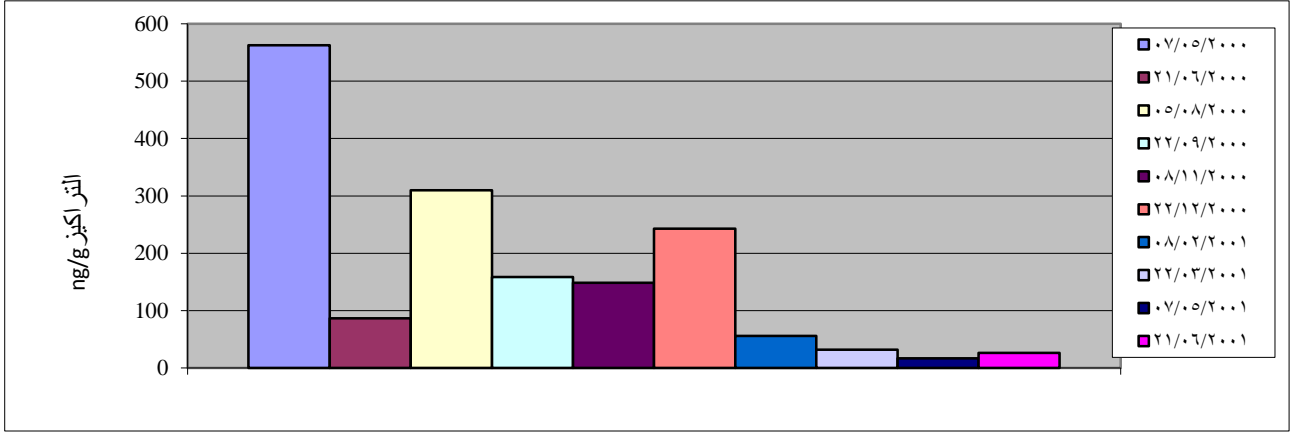
الموقع D:

يبين الجدول التالي تراكيز الفحوم الهيدروجينية العطرية في الموقع St(d):

جدول(4): تراكيز الفحوم الهيدروجينية العطرية في العينات الرسوبية لموقع يمين المدخل الشمالي للمرفأ التجاري St(d) (wt Dry ) ng/g

اسم المركب	تاريخ الاعتيان	07/05/00	21/06/00	05/08/00	22/09/00	08/11/00	22/12/00	08/02/01	22/03/01	07/05/01	21/06/01	Max	min
Naphthalene		16.83	nd	21.25	10.40	0.39	14.05	nd	nd	nd	0.18	21.25	nd
1,2,4-Triethyl benzen		13.69	nd	27.92	10.20	1.18	9.84	nd	0.19	0.16	0.24	27.92	nd
1,3,5-Triethyl benzen		8.93	nd	14.05	1.64	nd	5.34	1.35	nd	nd	nd	14.05	nd
1-Methyl naphthalene		1.37	nd	9.84	0.87	0.44	10.61	0.40	nd	0.18	0.23	10.61	nd
1-Ethyl naphthalene		46.78	1.95	15.11	6.68	0.46	1.40	nd	0.24	0.39	2.53	46.78	nd
Acenaphthylene		38.45	1.93	12.43	12.21	nd	5.48	0.60	0.19	0.14	nd	38.45	nd
Acenaphthene		0.91	nd	8.55	0.68	nd	2.87	0.37	0.26	0.17	0.21	8.55	nd
2,3,6-Trimethyl naphthalene		2.74	3.24	5.23	5.34	0.40	1.50	nd	nd	nd	nd	5.34	nd
Flourene		6.43	5.62	3.22	10.61	nd	5.08	nd	nd	0.21	nd	10.61	nd
Phenanthrene		2.84	8.74	9.63	13.34	21.02	10.61	4.81	3.98	1.46	7.62	21.02	1.46
Anthracene		7.59	10.28	2.66	1.62	10.45	46.78	3.94	2.30	nd	7.00	46.78	nd
2-Methyl phenanthrene		37.45	8.77	3.42	16.54	1.40	38.45	0.48	0.29	3.40	0.57	38.45	0.29
1-Methyl phenanthrene		5.85	4.11	19.45	7.48	70.29	10.41	19.57	1.13	0.39	0.68	70.29	0.39
3,6-Dimethyl phenanthrene		47.88	2.20	8.11	17.88	1.33	23.21	0.86	nd	1.68	nd	47.88	nd
Flouranthene		79.82	8.78	13.42	9.53	7.57	8.28	0.74	nd	0.67	1.57	79.82	nd
Pyrene		9.01	3.69	24.61	8.84	0.64	9.94	3.01	0.19	5.72	0.79	24.61	0.19
1-Methyl Pyrene		86.71	1.73	29.95	5.74	0.56	23.88	0.67	2.68	0.45	1.80	86.71	0.45
Chrysene		146.56	10.50	38.48	9.74	19.94	10.08	9.70	9.98	0.97	0.19	146.56	0.19
Perylene		2.84	14.99	42.57	9.35	12.46	5.05	9.44	10.66	0.88	2.50	42.57	0.88
ΣPAHs		562.67	86.53	309.89	158.7	148.53	242.86	55.93	32.08	16.85	26.1	562.67	16.85

Phen./Anth.	0.37	0.85	3.62	8.23	2.01	0.23	1.22	1.73	-	1.09	0.45	-
Flou/Pyr.	0.71	1.52	0.13	1.20	0.00	0.51	0.00	0.00	0.04	0.00	0.43	0.00



ΣPAHs

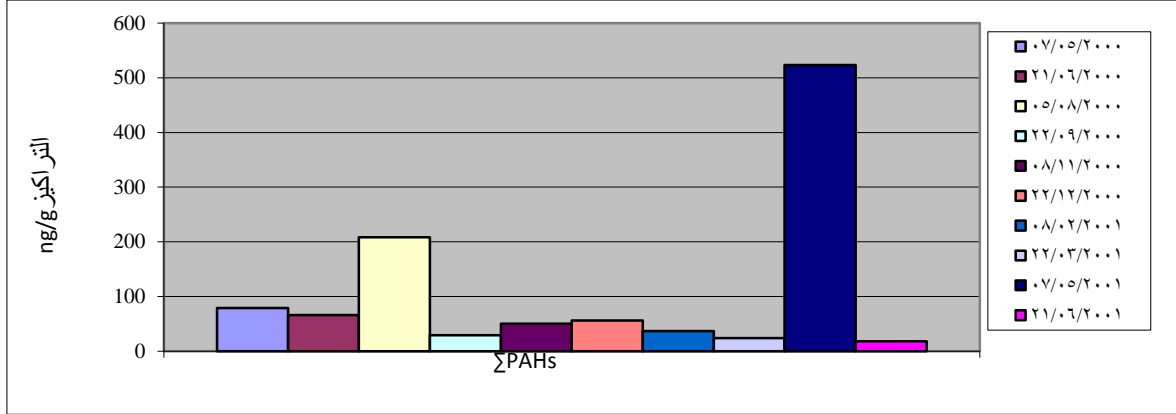
الشكل (9): التراكيز الكلية للفحوم الهيدروجينية العطرية في العينات الرسوبية لموقع يمين المدخل الشمالي للمرفأ التجاري (St(d)

الموقع E:

يبين الجدول التالي تراكيز الفحوم الهيدروجينية العطرية في الموقع (St(e):

جدول (5): تراكيز الفحوم الهيدروجينية العطرية في العينات الرسوبية لموقع سفينة نوح (St(e) ng/g (Dry wt)

اسم المركب	تاريخ الاعتيان	07/05/00	21/06/00	05/08/00	22/09/00	08/11/00	22/12/00	08/02/01	22/03/01	07/05/01	21/06/01	Max	min
Naphthalene		0.31	nd	0.78	0.43	nd	0.51	0.39	0.18	nd	0.15	0.78	nd
1,2,4-Triethyl benzen		1.08	0.53	1.50	nd	nd	nd	nd	nd	nd	0.18	1.50	nd
1,3,5-Triethyl benzen		2.45	0.56	2.80	nd	nd	0.39	0.39	0.27	nd	0.31	2.80	nd
1-Methyl naphthalene		0.57	nd	3.79	0.74	nd	nd	1.07	0.58	nd	nd	3.79	nd
1-Ethyl naphthalene		0.63	nd	0.48	0.58	0.50	nd	0.47	0.19	nd	0.15	0.63	nd
Acenaphthylene		0.36	nd	0.37	nd	nd	0.40	nd	0.18	12.08	nd	12.08	nd
Acenaphthene		0.39	0.54	3.07	nd	nd	nd	nd	nd	7.47	0.15	7.47	nd
2,3,6-Trimethyl naphthalene		0.57	nd	12.79	0.37	0.67	2.77	3.32	0.23	11.22	0.15	12.79	nd
Flourene		0.31	nd	11.25	0.88	3.62	5.31	3.44	0.21	4.73	0.30	11.25	nd
Phenanthrene		1.43	nd	2.52	1.60	5.49	0.61	1.30	0.53	12.84	1.58	12.84	nd
Anthracene		47.03	nd	6.19	8.59	4.08	15.02	19.01	5.48	6.02	0.15	47.03	nd
2-Methyl phenanthrene		14.45	0.91	38.55	3.57	1.20	11.35	2.07	2.21	8.91	0.95	38.55	0.91
1-Methyl phenanthrene		2.85	0.67	16.00	0.39	11.69	0.67	0.37	11.96	10.48	0.16	16.00	0.16
3,6-Dimethyl phenanthrene		1.81	0.60	31.37	0.94	1.01	7.06	0.37	0.24	28.14	0.60	31.37	0.24
Flouranthene		0.83	3.17	2.84	1.95	0.54	3.67	2.04	0.47	52.29	0.16	52.29	0.16
Pyrene		0.73	3.82	35.21	1.30	1.75	0.80	0.87	0.47	89.05	12.11	89.05	0.47
1-Methyl Pyrene		0.51	4.98	1.67	4.78	0.56	5.99	0.57	nd	94.97	0.46	94.97	nd
Chrysene		0.34	44.12	0.84	0.78	12.49	0.83	0.37	0.26	99.84	0.21	99.84	0.21
Perylene		2.01	6.13	36.22	2.32	6.85	0.67	0.61	0.24	85.13	0.28	85.13	0.24
ΣPAHs		78.67	66.03	208.25	29.22	50.45	56.03	36.65	23.71	523.18	18.05	523.18	18.05
Phen./Anth.		0.03	-	0.41	0.19	1.35	0.04	0.07	0.10	2.13	10.53	0.27	-
Flou/Pyr.		0.42	0.00	0.32	0.68	2.07	6.64	3.95	0.45	0.05	0.02	0.13	0.00



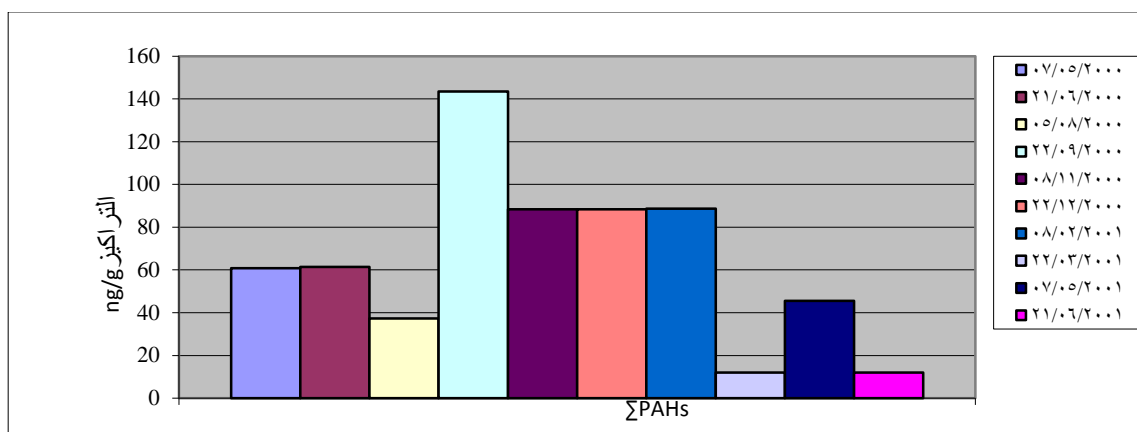
الشكل (10): التراكيز الكلية للفحوم الهيدروجينية العطرية في العينات الرسوبية لموقع سفينة نوح St(e)

الموقع F:

يبين الجدول التالي تراكيز الفحوم الهيدروجينية العطرية في الموقع St(F):

جدول (6): تراكيز الفحوم الهيدروجينية العطرية في العينات الرسوبية لموقع المريديان St(F) (Dry wt) ng/g

اسم المركب	تاريخ الاعتيان	07/05/00	21/06/00	05/08/00	22/09/00	08/11/00	22/12/00	08/02/01	22/03/01	07/05/01	21/06/01	Max	min
Naphthalene		0.24	nd	nd	9.17	0.58	0.68	nd	nd	nd	nd	9.17	nd
1,2,4-Triethyl benzen		0.32	0.39	0.53	3.68	nd	nd	nd	nd	nd	nd	3.68	nd
1,3,5-Triethyl benzen		0.43	0.39	1.01	31.39	nd	nd	0.50	0.43	nd	0.43	31.39	nd
1-Methyl naphthalene		0.32	nd	nd	9.74	nd	1.02	nd	0.19	nd	0.19	9.74	nd
1-Ethyl naphthalene		0.22	0.39	nd	4.32	1.78	nd	3.09	nd	0.79	nd	4.32	nd
Acenaphthylene		0.24	nd	0.41	0.50	nd	2.84	0.48	0.18	nd	0.18	2.84	nd
Acenaphthene		nd	0.56	0.39	0.39	0.51	10.60	nd	nd	nd	nd	10.60	nd
2,3,6-Trimethyl naphthalene		nd	nd	0.39	1.80	3.79	8.27	0.51	0.31	nd	0.31	8.27	nd
Flourene		nd	nd	nd	0.41	9.33	nd	0.76	nd	nd	nd	9.33	nd
Phenanthrene		11.34	nd	2.87	3.65	4.91	3.01	4.26	3.61	0.78	3.61	11.34	nd
Anthracene		10.91	0.54	1.50	3.04	11.21	2.18	4.56	2.72	0.29	2.72	11.21	0.29
2-Methyl phenanthrene		1.76	2.22	0.36	1.01	3.24	9.87	0.81	0.31	0.52	0.31	9.87	0.31
1-Methyl phenanthrene		10.97	nd	6.75	46.11	44.99	6.36	13.86	0.60	12.03	0.60	46.11	nd
3,6-Dimethyl phenanthrene		3.20	3.81	15.00	0.46	1.08	5.01	0.67	0.19	8.86	0.19	15.00	0.19
Flouranthene		4.50	9.56	4.18	1.58	nd	11.19	0.37	0.27	3.54	0.27	11.19	nd
Pyrene		2.49	2.77	2.28	0.44	2.24	4.34	1.83	1.13	2.13	1.13	4.34	0.44
1-Methyl Pyrene		12.76	1.88	0.47	0.83	2.65	16.67	2.54	1.05	2.80	1.05	16.67	0.47
Chrysene		0.76	1.70	0.47	22.56	0.91	nd	50.11	0.75	1.73	0.75	50.11	nd
Perylene		0.29	37.24	0.73	2.41	1.20	6.29	4.34	0.21	12.14	0.21	37.24	0.21
ΣPAHs		60.75	61.43	37.32	143.49	88.43	88.33	88.71	11.94	45.61	11.94	143.49	11.94
Phen./Anth.		1.04	0.00	1.91	1.20	0.44	1.38	0.93	1.33	2.69	1.33	1.01	0.00
Flou/Pyr.		0.00	0.00	0.00	0.93	4.17	0.00	0.42	0.00	0.00	0.00	2.15	0.00



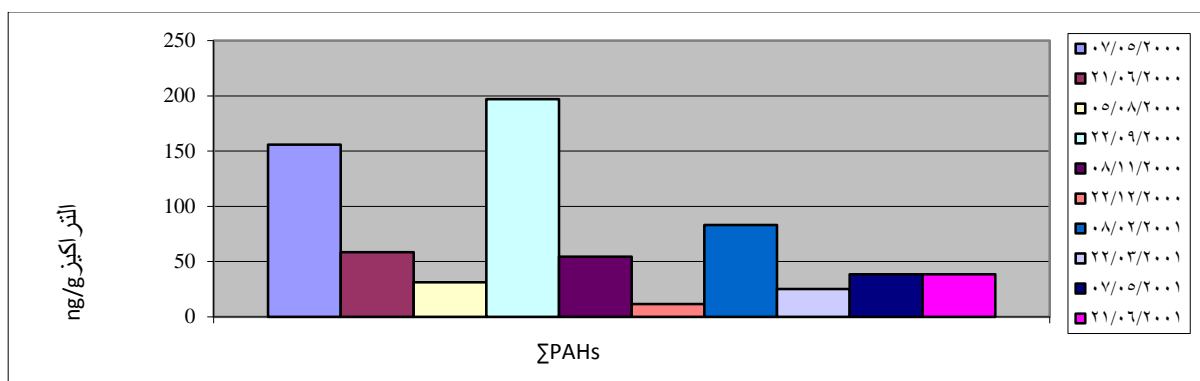
الشكل (11): التراكيز الكلية للفحوم الهيدروجينية العطرية في العينات الرسوبية لموقع المريديان St(f)

الموقع G:

يبين الجدول التالي تراكيز الفحوم الهيدروجينية العطرية في الموقع St(g) (منتج الشاطئ).

جدول (7): تراكيز الفحوم الهيدروجينية العطرية في العينات الرسوبية لموقع منتج الشاطئ St(g) (Dry wt) ng/g

اسم المركب	تاريخ الاعتيان	07/05/00	21/06/00	05/08/00	22/09/00	08/11/00	22/12/00	08/02/01	22/03/01	07/05/01	21/06/01	Max	min
Naphthalene		1.06	3.08	nd	nd	nd	0.37	0.68	nd	0.34	0.88	3.08	nd
1,2,4-Triethyl benzen		0.61	0.92	nd	nd	nd	0.47	1.62	0.28	nd	nd	1.62	nd
1,3,5-Triethyl benzen		nd	1.88	0.27	nd	1.34	0.29	3.60	1.28	0.40	1.60	3.60	nd
1-Methyl naphthalene		0.36	3.08	0.19	nd	nd	0.64	7.64	0.24	nd	nd	7.64	nd
1-Ethyl naphthalene		3.64	4.93	0.17	17.36	0.73	0.34	5.68	0.56	0.18	1.33	17.36	0.17
Acenaphthylene		1.91	0.75	0.19	6.46	nd	0.33	4.96	nd	0.22	nd	6.46	nd
Acenaphthene		0.51	1.49	nd	nd	0.48	0.67	nd	0.38	0.43	nd	1.49	nd
2,3,6-Trimethyl naphthalene		1.98	2.21	nd	1.08	1.20	0.91	6.54	0.19	0.23	0.58	6.54	nd
Flourene		nd	2.99	nd	2.72	0.51	nd	0.69	nd	nd	nd	2.99	nd
Phenanthrene		7.00	2.21	2.25	6.35	8.07	nd	3.02	6.91	4.95	6.93	8.07	nd
Anthracene		6.80	1.70	4.06	1.11	3.14	nd	1.03	5.21	4.07	8.19	8.19	nd
2-Methyl phenanthrene		2.41	1.18	1.34	23.27	0.74	nd	1.62	0.73	0.69	1.61	23.27	nd
1-Methyl phenanthrene		14.92	2.43	12.81	nd	31.09	0.48	9.88	5.77	1.23	9.19	31.09	nd
3,6-Dimethyl phenanthrene		nd	3.90	2.20	13.16	0.56	0.41	12.52	0.39	0.19	1.89	13.16	nd
Flouranthene		0.66	6.37	nd	16.07	0.51	nd	3.09	nd	8.14	1.13	16.07	nd
Pyrene		2.88	5.63	1.43	2.92	1.13	3.89	1.22	2.04	9.59	0.64	9.59	0.64
1-Methyl Pyrene		17.23	5.01	1.16	27.10	3.54	0.41	11.56	0.43	2.51	1.22	27.10	0.41
Chrysene		58.98	5.50	5.02	78.24	0.68	0.40	2.91	0.40	4.78	1.79	78.24	0.40
Perylene		34.90	3.31	0.16	1.11	0.77	1.97	5.00	0.49	0.46	1.46	34.90	0.16
ΣPAHs		155.84	58.57	31.23	196.96	54.49	11.6	83.28	25.29	38.4	38.43	196.96	11.6
Phen./Anth.		1.03	1.30	0.55	5.72	2.57	-	2.93	1.33	1.22	0.85	0.99	-
Flou/Pyr.		0.00	0.53	0.00	0.93	0.45	0.00	0.57	0.00	0.00	0.00	0.31	0.00



الشكل (12): التراكيز الكلية للفحوم الهيدروجينية العطرية في العينات الرسوبية لموقع منتج الشاطئ St(g)

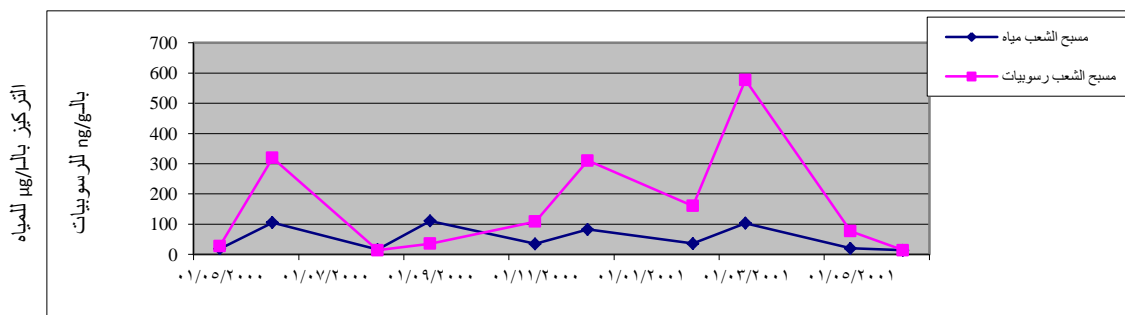
تراوحت التراكيز الكلية لمركبات (PAHs) في المواقع المدروسة ما بين (11.6-562.67)ng/g، وانحصرت قيم تراكيز مركبات الـ (Naphthalene، 1,2,4-Triethyl benzen و 1,3,5-Triethyl benzen)، ما بين (nd-59.78)ng/g و (nd-40.67)ng/g على التوالي، وكانت القيم العظمى في منتصف خريف 2000 في الموقع St(c) (منتزه السوار)، في حين انحصرت قيم تراكيز مركبي (1-Methyl naphthalene و 1-Ethyl naphthalene) ما بين (nd-56.37)ng/g و (nd-51.01)ng/g على التوالي، وكانت أعلى القيم في الموقع St(c) للمركب الأول في بداية شتاء 2000، وللمركب الثاني في بداية خريف 2000، وأما بالنسبة للمركب (Acenaphthylene) فقد تراوحت تراكيزه ما بين (nd-38.45)ng/g وكانت أعلى قيمة له في الموقع St(d) (يمين المدخل الشمالي لباب المرفأ التجاري) في منتصف ربيع 2000، أما المركبين (Acenaphthene و 2,3,6-Trimethyl naphthalene)، فتراوحت تراكيزهما ما بين (nd-10.60)ng/g و (nd-13.42)ng/g، وكانت أعلى القيم لهما في بداية شتاء 2000 للمركب الأول في الموقع St(f) (مريديان) وفي بداية صيف 2000 للمركب الثاني في الموقع St(c) (مسبح الشعب)، في حين سجل المركبين (Phenanthrene و Flourene) تراكيزاً تراوحت ما بين (nd-18.11)ng/g و (nd-75.06)ng/g على الترتيب، وكانت القيم العظمى لهما في الموقع St(c) في بداية شتاء وصيف 2000 على الترتيب، وفيما يتعلق بمجالات تراكيز المركبات (Anthracene، 3,6-Dimethyl phenanthrene و Chrysene)، التي بلغت قيمةً تراوحت ما بين (nd-47.03)ng/g و (nd-79.82)ng/g، (nd-146.56)ng/g على الترتيب، فقد سجلت أعلى القيم لها في منتصف ربيع 2000، في الموقع St(d) عدا المركب الأول فكانت أعلى قيمة له في الموقع St(e)، تراوحت تراكيز المركبين (1-Methyl phenanthrene و 2-Methyl phenanthrene) ما بين (nd-38.55)ng/g و (nd-71.17)ng/g على التوالي، وكانت أعلى قيم قد سجلت في الموقع St(e) في منتصف صيف 2000، وفي الموقع St(b) في بداية خريف 2000، وتبقى المركبات (1-Methyl Pyrene، Pyrene و Perylene)، التي تراوحت تراكيزها ما بين (nd-89.05)ng/g، (nd-94.97)ng/g و (nd-85.13)ng/g على الترتيب، وكانت قد سجلت أعلى القيم في الموقع St(e) وذلك في منتصف ربيع 2001.

إلى جانب ذلك تم اعتيان عينات مائية من الموقعين St(b) و St(e)، مسبح الشعب وسفينة نوح لمقارنتها

مع العينات الرسوبية، وتراوح تراكيزها الكلية ما بين (13.83-110.71)ng/g و (3.95-109.09)ng/g على الترتيب، كما هو موضح في الجدولين (12-13) التاليين:

جدول(8): تراكيز الفحوم الهيدروجينية العطرية في العينات المائية لمسبح الشعب  $\mu\text{g/l st}(b_w)$

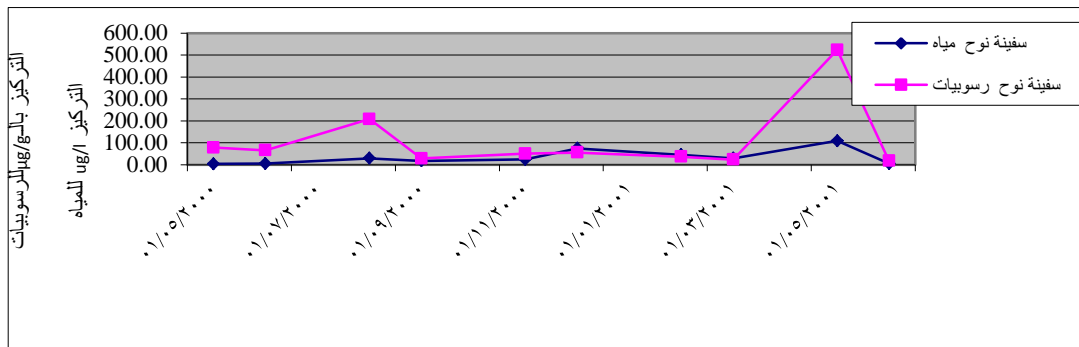
اسم المركب	تاريخ الاعتيان	7/05/00	1/06/00	05/08/00	22/09/00	08/11/00	22/12/00	08/02/01	22/03/01	07/05/01	21/06/01	max	min
Naphthalene		nd	0.39	nd	0.76	0.39	0.36	0.36	2.14	2.57	0.26	1.37	nd
1,2,4-Triethyl benzen		nd	0.68	0.30	0.83	nd	0.36	nd	2.89	0.43	0.18	2.03	nd
1,3,5-Triethyl benzen		0.37	0.80	nd	0.86	nd	0.31	0.39	3.21	1.98	0.19	1.06	nd
1-Methyl Naphthalene		nd	6.68	0.99	nd	0.39	0.30	0.87	3.42	0.45	nd	6.68	nd
1-Ethyl Naphthalene		0.39	1.49	0.20	2.10	nd	0.30	0.70	7.49	0.28	0.26	2.10	nd
Acenaphthylene		0.46	1.00	0.13	4.56	nd	1.43	nd	2.35	nd	0.39	4.56	nd
Acenaphthene		0.74	1.62	0.11	nd	0.37	3.78	nd	nd	0.94	0.28	3.78	nd
2,3,6-Trimethyl naphthalene		0.43	0.68	0.42	2.03	0.36	15.59	0.37	2.99	0.33	nd	15.59	nd
Flourene		0.68	0.80	nd	2.28	0.98	0.44	0.58	3.85	nd	nd	2.28	nd
Phenanthrene		0.96	15.47	2.64	1.88	7.47	nd	0.84	4.81	3.30	0.36	17.63	nd
Anthracene		1.47	16.73	1.11	nd	6.08	nd	0.64	2.35	3.09	0.41	16.73	nd
2-Methyl phenanthrene		0.80	1.47	0.25	7.26	0.40	33.86	2.88	9.95	2.11	0.96	33.86	0.40
1-Methyl phenanthrene		1.64	3.67	0.96	1.01	2.60	17.68	nd	nd	1.27	0.37	17.68	nd
3,6-Dimethyl phenanthrene		0.48	5.15	0.12	5.31	1.01	1.27	3.11	7.92	0.55	2.10	5.31	0.29
Flouranthene		0.36	8.27	0.06	11.28	0.90	2.18	nd	4.49	0.31	0.27	11.28	nd
pyrene		1.97	22.02	0.27	nd	2.20	1.53	16.69	33.59	0.31	3.89	22.02	nd
1-Methyl pyrene		1.24	0.80	1.12	19.02	0.74	0.48	0.36	3.96	0.29	0.68	19.02	0.16
Chrysene		2.42	1.02	4.05	48.76	6.82	1.04	0.67	2.14	0.47	0.43	48.76	0.14
Perylene		4.28	16.67	3.38	2.77	4.19	1.51	7.67	5.99	1.44	2.80	22.55	0.40
$\Sigma$ PAHs		18.69	105.41	16.11	110.71	34.98	82.42	36.13	103.54	20.12	13.83	110.71	13.83
Phen./Anth.		0.65	0.92	2.38	-	1.23	-	1.31	2.05	1.07	0.88	1.05	-
Flou/Pyr.		0.35	0.04	0.00	-	0.45	0.29	0.03	0.11	0.00	0.00	0.10	-



الشكل (13): تراكيز  $\Sigma$ PAHs في العينات المائية والرسوبية لمسبح الشعب

جدول(9): تراكيز الفحوم الهيدروجينية الأليفاتية في العينات المائية لسفينة نوح  $\mu\text{g/l st}(e_w)$

اسم المركب	تاريخ الاعتيان											imax	imin
	07/05/00	21/06/00	05/08/00	22/09/00	08/11/00	22/12/00	08/02/01	22/03/01	07/05/01	21/06/01			
Naphthalene	0.10	0.16	0.20	0.08	0.21	0.06	nd	0.20	0.46	0.16	0.46	nd	
1,2,4-Triethyl benzen	0.14	nd	0.19	0.04	0.10	0.07	nd	0.19	0.23	nd	0.23	nd	
1,3,5-Triethyl benzen	0.20	0.22	0.25	0.06	0.10	0.08	0.37	0.25	0.35	0.22	0.37	0.06	
1-Methyl Naphthalene	0.12	0.15	0.34	0.08	0.10	0.07	nd	0.34	0.45	0.15	0.45	nd	
1-Ethyl Naphthalene	nd	nd	0.23	0.04	0.09	0.10	0.47	0.23	0.25	nd	0.47	nd	
Acenaphthylene	0.07	nd	0.41	0.05	0.09	0.07	nd	0.41	0.29	nd	0.41	nd	
Acenaphthene	0.15	0.16	0.22	0.04	nd	0.14	nd	0.22	0.25	0.16	0.25	nd	
2,3,6-Trimethyl naphthalene	2.22	nd	0.43	0.04	nd	0.64	nd	0.43	0.22	nd	2.22	nd	
Flourene	0.07	0.14	nd	nd	nd	0.08	nd	nd	nd	0.14	0.14	nd	
Phenanthrene	0.07	0.50	1.58	0.83	0.85	10.39	1.95	1.58	4.98	0.50	10.39	0.07	
Anthracene	0.14	0.16	1.68	0.51	0.31	2.36	0.40	1.68	3.04	0.16	3.04	0.14	
2-Methyl phenanthrene	0.13	nd	0.73	0.39	5.34	0.43	17.54	0.73	2.34	nd	17.54	nd	
1-Methyl phenanthrene	0.07	nd	2.22	1.17	2.77	0.40	1.00	2.22	7.01	nd	7.01	nd	
3,6-Dimethyl phenanthrene	0.07	0.46	0.36	0.04	2.52	1.46	1.44	0.36	0.22	0.46	2.52	0.04	
Flouranthene	0.12	nd	1.48	0.04	0.25	8.61	1.37	1.48	0.25	nd	8.61	nd	
pyrene	0.08	1.13	3.61	2.19	7.31	13.66	11.28	3.61	13.16	1.13	13.66	0.08	
1-Methyl pyrene	0.07	0.19	6.75	1.36	0.11	8.58	0.39	6.75	8.19	0.19	8.58	0.07	
Chrysene	0.07	nd	4.26	1.17	0.14	15.85	0.39	4.26	7.03	nd	15.85	nd	
Perylene	0.07	2.58	4.33	10.06	4.10	11.71	8.87	4.33	60.37	2.58	60.37	0.07	
ΣPAHs	3.95	5.84	29.27	18.18	24.40	74.77	45.46	29.27	109.09	5.84	109.09	3.95	
Phen./Anth.	0.50	3.13	0.94	1.63	2.74	4.40	4.88	0.94	1.64	3.13	3.42	0.50	
Flou/Pyr.	0.88	0.12	0.00	0.00	0.00	0.01	0.00	0.00	0.00	0.12	0.01	0.00	



الشكل (14) تراكيز ΣPAHs في العينات المائية والرسوبية لسفينة نوح

نلاحظ من الشكلين (13-14) أن هناك تشابهاً واضحاً في منحى التراكيز الكلية لمركبات PAHs بشكل عام أثناء فترة الدراسة للعينات المائية والرسوبية على حدٍ سواء، مع وجود بعض الاستثناءات. تمت مناقشة النتائج بالاعتماد على مؤشرات التلوث المرتبطة بالمصدر Phenanthrene/Anthracene و Fluorene/Pyrene آخذين بعين الاعتبار أنه عندما يأخذ كلا المؤشرين قيمًا  $(10 >)$  فإن مصدر التلوث بهذه المركبات يعود للنشاط البشري (نواتج الاحتراق)، أما عندما يأخذ كلا المؤشرين قيمة  $(25 <)$  فإن مصدر التلوث نفطي [18]. ولقد وجدنا من خلال الدراسة ما يلي:

- ت

راو



ح  
ت  
الترا  
كينز  
الكل  
ية  
للمر  
كبا  
ت  
متع  
ددة  
النو  
ى  
الع  
طري  
ة  
في  
المو  
اقع  
المد  
رو  
سة  
ما  
بين  
)  
Dr  
y  
wt  
(.  
ng  
)g  
56  
2.  
67  
-  
11

(.6

،

تشبي

ر

هذه

الدر

اسة

إلى

أن

الترا

كيز

الكا

ية

للمر

كبا

ت

الع

طري

ة

تقع

ضد

من

حد

ود

التأ

ثيرا

ت

المنذ

خف

ضد

ة

الم

سمو

ح  
بها  
علا  
مياً  
والبا  
لغة  
حوا  
لي  
4p  
p  
m  
[2  
0-  
19  
.]

- ت

دل  
مؤ  
شرا  
ت  
التظ  
وث  
أن  
الم  
ص  
در  
الأ  
سا  
سي  
لمر  
كبا  
ت  
ال  
P  
A  
Hs

في  
جميع  
ع  
المو  
أقع  
المد  
رو  
سنة  
)  
قد  
يعو  
د  
كما  
هو  
ملا  
حظ  
إلى  
التأ  
ثير  
الحد  
رار  
ي  
للمر  
كبا  
ت  
الهد  
درو  
كريد  
ونيد  
ة،  
النا  
شنة  
عن

الذ  
شا  
ط  
الب  
شر  
ي  
مثل  
عم  
يا  
ت  
النفق  
ل  
الج  
وي  
للا  
حتر  
اق  
المنذ  
بع  
ث  
عن  
عوا  
دم  
الس  
بارا  
ت  
والم  
نشأ  
ت  
الا  
صن  
اع  
ة،

إلى  
جان  
ب  
ما  
يتم  
نقله  
بشكل  
ل  
مبا  
شر  
إلى  
البي  
ثة  
البي  
حري  
ة  
عب  
ر  
الم  
سط  
حا  
ت  
الما  
ئية  
وم  
طب  
ات  
الا  
صر  
ف  
الا  
ط  
حي

•  
- ن  
ستد  
ل  
من  
خلا  
ل  
مقا  
رنة  
الترا  
كيز  
الكا  
ية  
لمر  
كبا  
ت  
ال  
P  
A  
Hs  
ما  
بين  
المو  
اقع  
المد  
رو  
سة  
,  
أن  
قيم  
ها  
في  
المو  
اقع

St(  
،c)

St(  
d)

و

St(  
e)

والبا

لغة

ng

/g

51

7.

،9

ng

/g

56

2.

67

و

ng

/g

52

3.

18

ع

ى

الت

س

سل

،

كان

ت

أكب

ر

بكت

ير

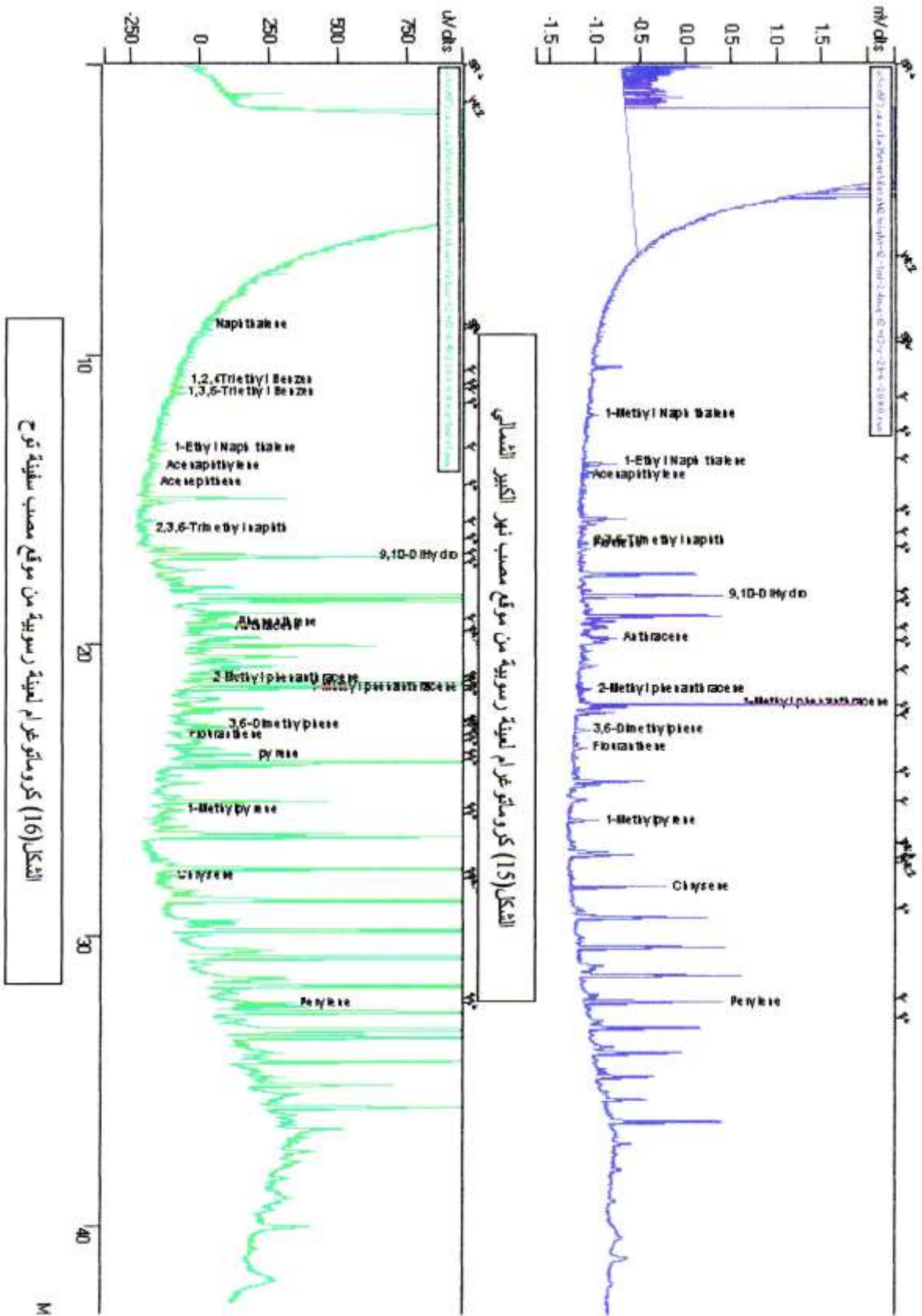
من

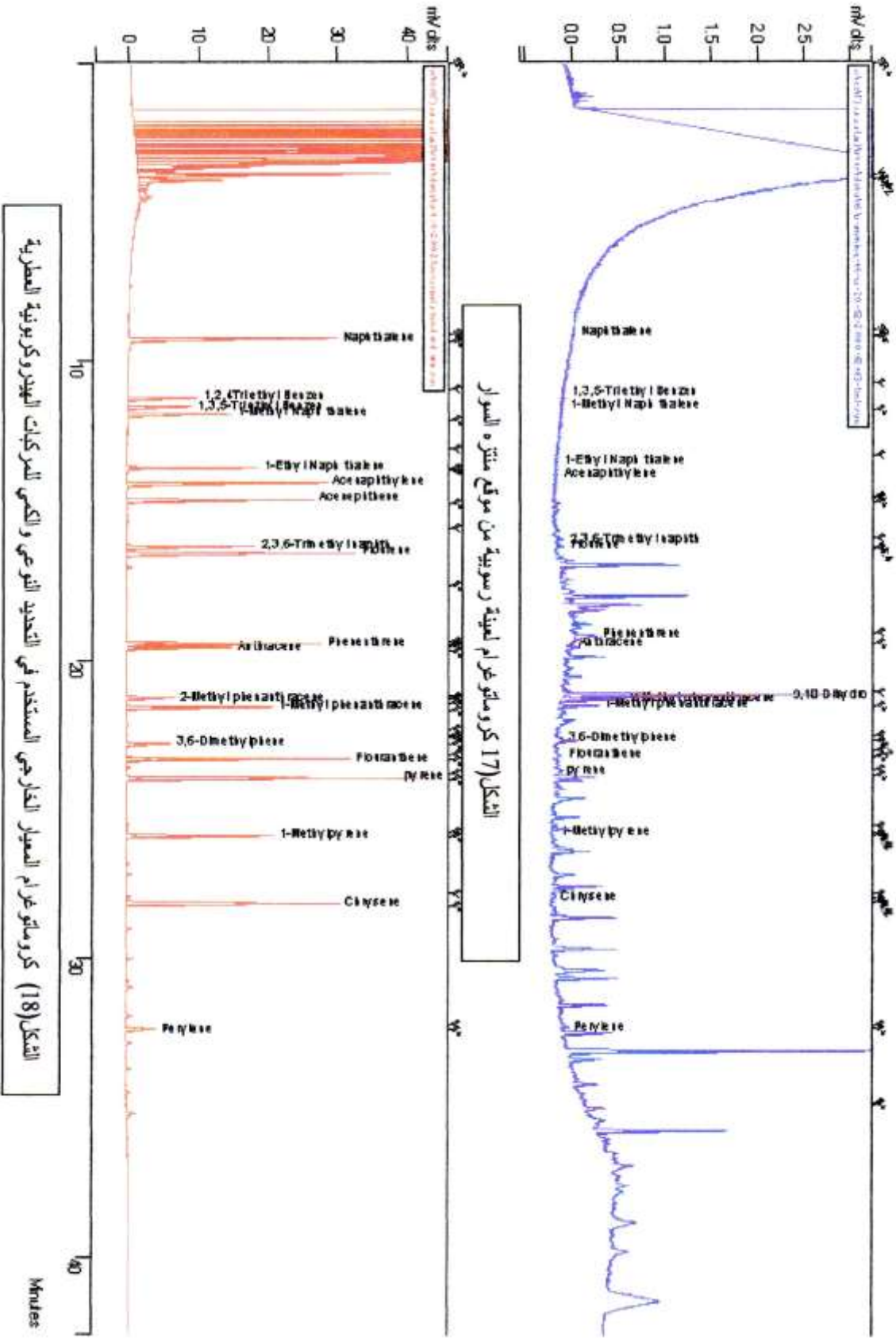
القي



م  
الم  
سج  
لة  
في  
باق  
ي  
المو  
اقع  
وقد  
يعو  
د  
الس  
بب  
في  
ذلك  
إلى  
الن  
شا  
ط  
الـ  
شر  
ي  
(زو  
ارق  
الـ  
صـ  
د  
والـ  
سف  
ن  
الت  
جار

ية)  
في  
تلك  
المو  
اقع  
.





الشكل (17) كروماتوغرام لبيئة ريفية من موقع منزه السوار

الشكل (18) كروماتوغرام المعيار الخارجي المستخدم في التحديد النوعي والكمي للمركبات الهيدروكربونية العطرية

.....

1. Law, R. J., (1986). "Polycyclic aromatic hydrocarbons in the marine environment": an overview. ICES Coop. Res. Rep. 142, p.p. 88-100.
2. Baumard P., Budzinski H., Garrigues P., Dizer H., Hansen P.D., (1999). "Polycyclic Aromatic Hydrocarbons In Recent Sediments And Mussels (*Mytilus edulis*) From Western Baltic Sea". occurrence, bio-availability and seasonal variations, Mar. Environ. Res., 47, p.p.: 17-47.
3. Lipiatou, E. and Albaiges, J. (1994). "Atmospheric deposition of hydrophobic organic chemicals in the northwestern Mediterranean Sea". Comparison with the Rhone river input. Mar. Chem. 44, p.p. 153-164.
4. UNEP (OCA) IAEA (1992). "Determination of Petroleum hydrocarbons in sediments". Reference Methods for Marine Pollution Studies No. 20, Nairobi Kenya.
5. Zobell, E.C., (1971). "Sources and biodegradation of Carcinogenic hydrocarbons". In: Proc. API/EPA/USCGConf. On prevention and control of oil spills. American petroleum institute Washington, D. C., p.p. 441-451.
6. Zitko, V., (1975). "Aromatic hydrocarbons in aquatic Fauna" Bull. Environ. Contam. Toxicol, 14, p.p. 621-631.
7. Witt. G. (1995). "Polycyclic Aromatic Hydrocarbons in water and sediment of the Baltic sea", Mar. Pollut. Bull No: (4-12), p.p.: 237-248.
8. Lee. R.F. and Ryan, C. (1983). "Microbial and photochemical degradation of polycyclic aromatic hydrocarbons in estuarine waters and sediments". J. Fis. Aquat. Sci. 40(2), p.p.: 86-94.
9. Readman J.W., Mantoura, R.F.C. and Rhead, M.M. (1984). "The physico-chemical Specification of polycyclic Aromatic hydrocarbons (PAHs) in the aquatic System Fres". Z. Anal. Chem. 319, p.p. 126-131.
10. Lipiatou, E. and Saliot, A. (1991). "Fluxes and Transport of Anthropogenic in the western Mediterranean sed.". Mar. chem. 32, p.p. 51-71.

11. Zhang, x. (1991). "*polycyclic Aromatic hydrocarbons in dates sediment core from lake Michigan and Green Bay*". ph.D, thesis,. Department of civil Engineering and Mechanics, university of Wisconsin- Milwaukee, Milwaukee, Wisconsin. p. 231.
12. Vethaak, A.D. and ap Rheinallt, t. (1992). "*Fish disease as a monitor for marine pollution*". the case of the north sea. Rev. Fish boil. Fish. 2, p.p. 1-32.
13. Malins, D.C., Landahl, J.T., Myers, M. S., Krahn M.M. Brown, D.W., Chan, S.L. and Roubal, W.T. (1988). "*Neoplastic and other diseases in fish in relation to toxic chemicals: an overview*". Aquat. Toxic11,. p.p. 43-67.
14. تحديد بعض المخلفات العضوية الصناعية التي تصب في مياه نهر الكبير " إسبر، م. ناصر، م. أبظلي، م. هـ. (1997). الشمالي وأثرها على نوعية المياه الساحلية". منشورات جامعة تشرين. (أطروحة).
15. تحديد بعض المركبات العضوية الناتجة عن الصناعة في الرواسب القاعية لنهر " فاهوم، ا. يـ. نبيل، ط. م. هـ. (1997). الكبير الشمالي وأثرها على البيئة البحرية المجاورة". منشورات جامعة تشرين. (أطروحة).
16. UNEP (OCA) MED/G 1997. "*A regional site specific temporal trend monitoring programmed*".
17. IAEA-MEL/MESL.(1995). "*Training Course on the measurements organo chlorines and petroleum hydrocarbons in the Environmental samples*". p.p.69-77,117-121.
18. Raoux, C., Garrigues, P., (1993). "*Mechanism model of polycyclic aromatic hydrocarbons contamination of marine coastal sediments from the Mediterranean Sea, Proc*". 13<sup>th</sup> int. Symp Bordeaux (France), 1991, USA, p.p.:443-450.
19. Long, E.R. and L.G. Morgan. 1990. "*The potential for biological effects of sediment sorbed contaminants tested in the NST Program*". NOAA Tech. Memo. NOS OMA 52. US NOAA. Seattle, WA. 175pp.
20. Long, E.R., D.D. MacDonald, S.L. Smith, and F.D. Calder. 1995. "*Incidence of Adverse Biological Effects Within Ranges of Chemical Concentrations in Marine and Estuarine Sediments*". Env. Mngmt. 19 (1). pp. 81-97.